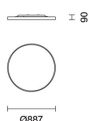


Produktkonfiguration: QL86

QL86: Ø887mm - Warm White - Mikroprismenschirm - DALI



QL86: Ø887mm - Warm White - Mikroprismenschirm - DALI

Rundeuchte für Deckeninstallation mit Installationsmöglichkeit auch als Einbau- und Hängeleuchte mittels separat zu bestellendem Zubehör. Direkte Beleuchtung, die zur Verwendung mit LED Warm White-Modulen 3000K vorgesehen ist. Das Leuchtengehäuse besteht aus einem weiß lackierten Aluminiumrahmen, einem Streuschirm aus satiniertem Methacrylat für Lichtemission UGR < 19 3000cd/m sowie einer hinteren Verschlussplatte aus Blech. Der Driver befindet sich im oberen Teil des Produkts.

Plafondlampe Als Einbau- oder Hängeleuchte mit separat zu bestellendem Zubehör

| | |
|--------------------------|---------------------|
| Farben | Gewicht (Kg) |
| Weiß (01) Schwarz (04) | 14.1 |

Wandanbauleuchte | Deckenanbauleuchte

Die Leuchte wird komplett mit elektronischen Komponenten ausgeliefert. Die verwendeten Stromkabel sind aus halogenfreiem Material. (Kabel aus halogenfreiem Material, die im Brandfall keine giftigen und korrosiven Gase und nur geringe Mengen undurchsichtigen Rauchs emittieren).

Gemäß der Normen EN60598-1 u. Sondernormen

IP20 IP43 for optical assembly

CE

03

8

EAC

QCERT

NOM

RAM

CS

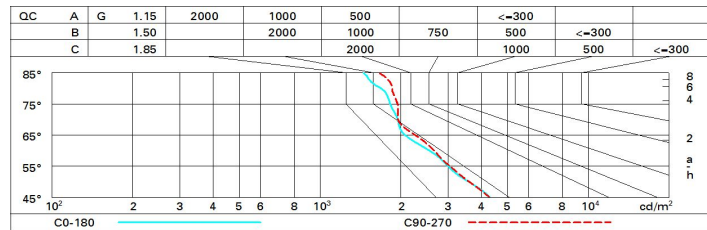
CCC pending

| | | | |
|-------------------------------------------------------------------|-------|--------------------------------------|-------------------------------|
| Im System: | 6825 | Farbtemperatur [K]: | 3000 |
| W System: | 54.7 | MacAdam Step: | 3 |
| Im Lichtquelle: | 9750 | Lebensdauer LED 1: | 50,000h - L90 - B10 (Ta 25°C) |
| W Lichtquelle: | 51 | Lampencode: | LED |
| Lichtausbeute (lm/W, Systemwert): | 124.8 | Anzahl Lampen in Leuchtengehäuse: | 1 |
| Im im Notlichtbetrieb: | - | ZVEI-Code: | LED |
| abgegebener Lichtstrom bei/ über einem Winkel von 90° [lm]: | 0 | Anzahl Leuchtengehäuse: | 1 |
| Leuchtenbetriebswirkungsgrad 70 (L.O.R.) [%]: | | Control: | DALI-2 |
| CRI (minimum): | 80 | | |

Wirkungsgrad

| R | 77 | 75 | 73 | 71 | 55 | 53 | 33 | 00 | DRR |
|------|----|----|----|----|----|----|----|----|-----|
| K0.8 | 49 | 42 | 38 | 34 | 41 | 37 | 37 | 32 | 46 |
| 1.0 | 54 | 47 | 43 | 39 | 46 | 42 | 42 | 38 | 54 |
| 1.5 | 60 | 55 | 52 | 48 | 54 | 51 | 50 | 46 | 66 |
| 2.0 | 64 | 60 | 57 | 54 | 59 | 56 | 55 | 52 | 74 |
| 2.5 | 67 | 63 | 61 | 58 | 62 | 60 | 59 | 55 | 79 |
| 3.0 | 68 | 65 | 63 | 61 | 64 | 62 | 61 | 58 | 82 |
| 4.0 | 70 | 68 | 66 | 64 | 66 | 65 | 64 | 61 | 86 |
| 5.0 | 71 | 69 | 67 | 66 | 68 | 66 | 65 | 62 | 89 |

Söller-Diagramm



UGR-Diagramm

| Corrected UGR values (at 9750 lm bare lamp luminous flux) | | | | | | | | | | | |
|-----------------------------------------------------------|-----|------------------|------------|------|------|------|----------------|------|------|------|------|
| Reflect.: | | viewed crosswise | | | | | viewed endwise | | | | |
| ceiling/cav | | 0.70 | 0.70 | 0.50 | 0.50 | 0.30 | 0.70 | 0.70 | 0.50 | 0.50 | 0.30 |
| walls | | 0.50 | 0.30 | 0.50 | 0.30 | 0.30 | 0.50 | 0.30 | 0.50 | 0.30 | 0.30 |
| work pl. | | 0.20 | 0.20 | 0.20 | 0.20 | 0.20 | 0.20 | 0.20 | 0.20 | 0.20 | 0.20 |
| Room dim | | | | | | | | | | | |
| x y | | | | | | | | | | | |
| 2H | 2H | 10.2 | 17.2 | 10.5 | 17.5 | 17.7 | 10.1 | 17.2 | 10.4 | 17.5 | 17.7 |
| | 3H | 17.0 | 17.9 | 17.3 | 18.2 | 18.5 | 10.4 | 17.4 | 10.8 | 17.7 | 18.0 |
| | 4H | 17.3 | 18.2 | 17.7 | 18.5 | 18.8 | 10.5 | 17.4 | 10.9 | 17.7 | 18.0 |
| | 6H | 17.6 | 18.4 | 18.0 | 18.8 | 19.1 | 10.5 | 17.3 | 10.9 | 17.7 | 18.0 |
| | 8H | 17.7 | 18.5 | 18.1 | 18.9 | 19.2 | 10.5 | 17.3 | 10.9 | 17.6 | 18.0 |
| | 12H | 17.8 | 18.6 | 18.2 | 18.9 | 19.3 | 10.5 | 17.2 | 10.9 | 17.6 | 17.9 |
| 4H | 2H | 10.5 | 17.4 | 10.9 | 17.7 | 18.1 | 17.3 | 18.2 | 17.7 | 18.5 | 18.9 |
| | 3H | 17.6 | 18.3 | 17.9 | 18.7 | 19.0 | 17.8 | 18.6 | 18.2 | 18.9 | 19.3 |
| | 4H | 18.0 | 18.7 | 18.4 | 19.1 | 19.5 | 18.0 | 18.7 | 18.4 | 19.1 | 19.5 |
| | 6H | 18.5 | 19.1 | 18.9 | 19.5 | 19.9 | 18.1 | 18.7 | 18.6 | 19.1 | 19.6 |
| | 8H | 18.6 | 19.2 | 19.1 | 19.6 | 20.0 | 18.2 | 18.7 | 18.6 | 19.1 | 19.6 |
| | 12H | 18.7 | 19.2 | 19.2 | 19.7 | 20.1 | 18.2 | 18.7 | 18.7 | 19.1 | 19.6 |
| 8H | 4H | 18.2 | 18.8 | 18.7 | 19.2 | 19.6 | 18.7 | 19.2 | 19.1 | 19.6 | 20.1 |
| | 6H | 18.8 | 19.3 | 19.3 | 19.7 | 20.2 | 18.9 | 19.4 | 19.4 | 19.8 | 20.3 |
| | 8H | 19.0 | 19.4 | 19.5 | 19.9 | 20.4 | 19.0 | 19.4 | 19.5 | 19.9 | 20.4 |
| | 12H | 19.2 | 19.6 | 19.7 | 20.0 | 20.6 | 19.1 | 19.4 | 19.6 | 19.9 | 20.5 |
| 12H | 4H | 18.2 | 18.7 | 18.7 | 19.1 | 19.6 | 18.8 | 19.3 | 19.2 | 19.7 | 20.2 |
| | 6H | 18.8 | 19.2 | 19.3 | 19.7 | 20.2 | 19.1 | 19.5 | 19.6 | 19.9 | 20.4 |
| | 8H | 19.1 | 19.5 | 19.6 | 20.0 | 20.5 | 19.2 | 19.6 | 19.7 | 20.0 | 20.6 |
| Variations with the observer position at spacing: | | | | | | | | | | | |
| S = | | 1.0H | 0.3 / -0.3 | | | | 0.3 / -0.3 | | | | |
| | | 1.5H | 0.4 / -0.8 | | | | 0.5 / -0.7 | | | | |
| | | 2.0H | 1.0 / -1.2 | | | | 1.0 / -1.1 | | | | |